

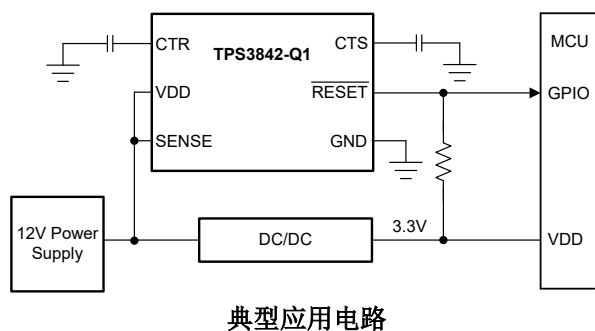
# TPS3842-Q1 具有可编程延迟和抗尖峰脉冲功能的汽车级、42V、小尺寸、850nA 欠压或过压监控器

## 1 特性

- 具有符合 AEC-Q100 标准的下列特性：
  - 器件温度等级 1：-40°C 至 +125°C 环境工作温度  $T_A$
  - 器件 HBM ESD 分类等级 2
  - 器件 CDM ESD 分类等级 C7B
- 宽电源电压范围：1.9V 至 42V
- VDD、SENSE 和 RESET 的电压额定值为 42V
- 极低静态电流：850nA (典型值)
- 高阈值精度：0.5% (典型值)
- 固定内部阈值电压：2.7V 至 9.5V
- 可调电压型号：0.7V
- 通过 CTR 引脚实现电容器可调节的延时时间
- 通过 CTS 引脚实现电容器可调节抗尖峰脉冲延时时间
- 欠压开漏、低电平有效输出
- 过压开漏、低电平有效及高电平有效输出
- 温度范围：-40°C 至 125°C
- 小尺寸：SOT5X3 (DRL)

## 2 应用

- ADAS 域控制器
- 汽车网关
- 汽车音响主机
- 数字驾驶舱处理单元
- 远程信息处理控制单元
- 驾驶员监控



## 3 说明

TPS3842-Q1 是一款具有 850nA  $I_{DD}$ 、1.5% 精度和快速检测时间的汽车级、42V 输入电压检测器。TPS3842-Q1 可直接连接至 12V 电池，从而持续监控欠压 (UV) 状况或过压 (OV) 状况。TPS3842-Q1 采用小型 DRL 封装，适用于尺寸受限的应用。SENSE 引脚上的内置迟滞特性有助于在监测电源电压轨时防止出现错误的复位信号。该器件提供了 1%、5% 和 10% 迟滞电压选项，从而实现设计灵活性，可以支持电压瞬态。

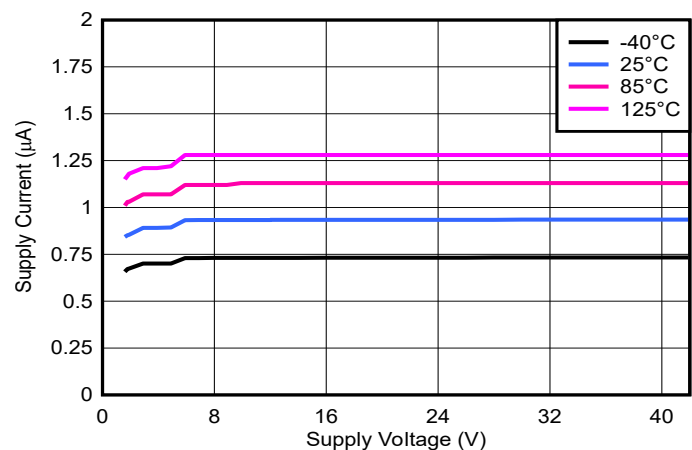
SENSE 已从 VDD 去耦，可以监控高于和低于 VDD 的电压。固定阈值型号可提供精确的低 IQ 电压监控。可调阈值型号可通过外部电阻器灵活设置欠压阈值。TPS3842-Q1 可通过 CTS 引脚对 SENSE 提供电容器可编程抗尖峰脉冲，并通过 CTR 引脚提供电容器可编程复位延迟时序。

### 器件信息

| 器件型号       | 封装 <sup>(1)</sup> | 本体尺寸 (标称值) <sup>(2)</sup> |
|------------|-------------------|---------------------------|
| TPS3842-Q1 | SOT5X3 (6)        | 1.20mm x 1.60mm           |

(1) 如需了解所有可用封装，请参阅数据表末尾的可订购产品附录。

(2) 封装尺寸 (长 × 宽) 为标称值，并包括引脚 (如适用)。



电源电压与电源电流间的关系



## 内容

|                        |           |                             |           |
|------------------------|-----------|-----------------------------|-----------|
| <b>1 特性</b> .....      | <b>1</b>  | 7.2 功能方框图.....              | <b>11</b> |
| <b>2 应用</b> .....      | <b>1</b>  | 7.3 特性说明.....               | <b>13</b> |
| <b>3 说明</b> .....      | <b>1</b>  | 7.4 器件功能模式.....             | <b>17</b> |
| <b>4 器件比较</b> .....    | <b>3</b>  | <b>8 应用和实施</b> .....        | <b>18</b> |
| <b>5 引脚配置和功能</b> ..... | <b>4</b>  | 8.1 应用信息.....               | <b>18</b> |
| <b>6 规格</b> .....      | <b>5</b>  | 8.2 典型应用.....               | <b>18</b> |
| 6.1 绝对最大额定值.....       | <b>5</b>  | 8.3 电源相关建议.....             | <b>20</b> |
| 6.2 ESD 等级.....        | <b>5</b>  | 8.4 布局.....                 | <b>20</b> |
| 6.3 建议运行条件.....        | <b>5</b>  | <b>9 器件和文档支持</b> .....      | <b>21</b> |
| 6.4 热性能信息.....         | <b>5</b>  | 9.1 器件支持.....               | <b>21</b> |
| 6.5 电气特性.....          | <b>6</b>  | 9.2 文档支持.....               | <b>21</b> |
| 6.6 时序要求.....          | <b>7</b>  | 9.3 支持资源.....               | <b>21</b> |
| 6.7 开关特性.....          | <b>7</b>  | 9.4 商标.....                 | <b>21</b> |
| 6.8 时序图.....           | <b>8</b>  | 9.5 静电放电警告.....             | <b>21</b> |
| 6.9 典型特性.....          | <b>9</b>  | 9.6 术语表.....                | <b>21</b> |
| <b>7 详细说明</b> .....    | <b>11</b> | <b>10 修订历史记录</b> .....      | <b>21</b> |
| 7.1 概述.....            | <b>11</b> | <b>11 机械、封装和可订购信息</b> ..... | <b>22</b> |

## 4 器件比较

器件命名约定显示了 TPS3842-Q1 的一些器件命名规则。有关其他选项的详细信息和供货情况，请联系 TI 销售代表或访问 TI 的 [E2E 论坛](#)。

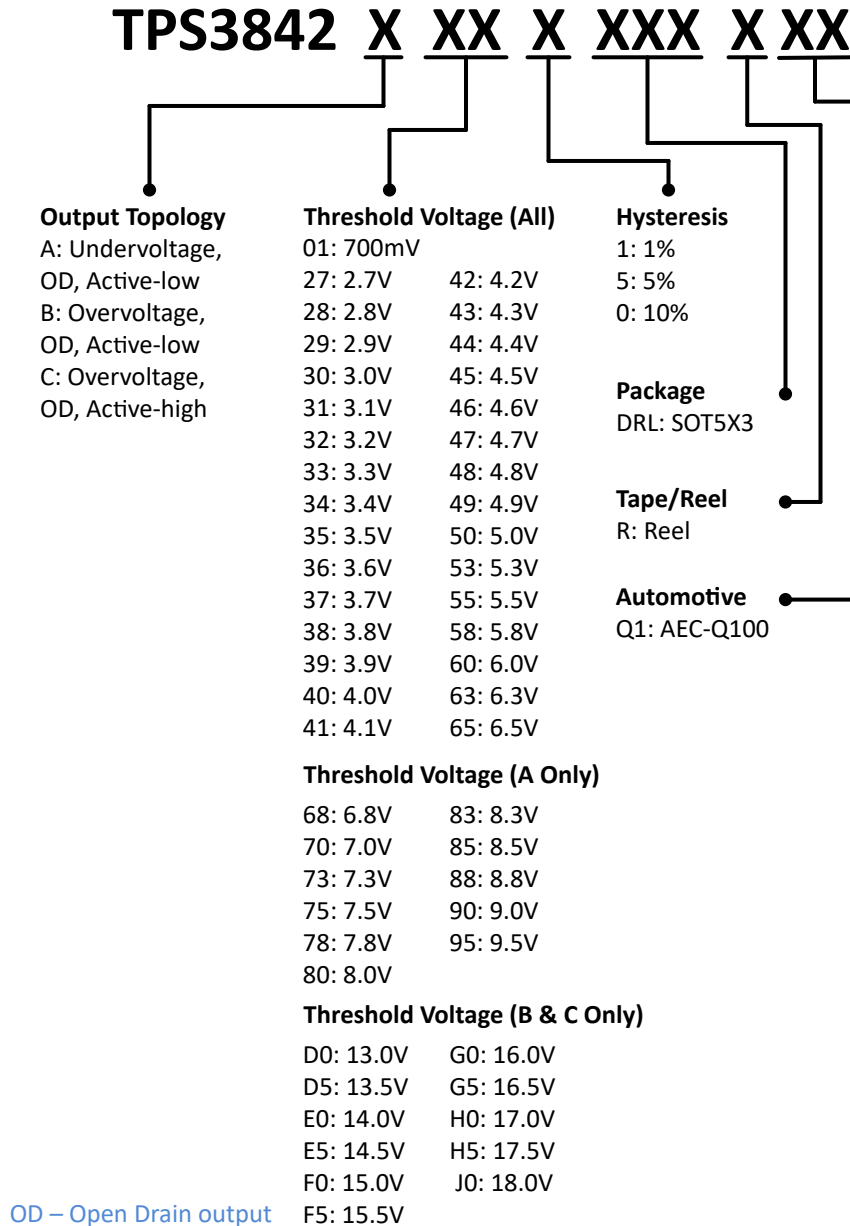


图 4-1. 器件命名约定

1.  $V_{ITN}$  为 700mV 的后缀 01 与可调型号相对应，没有内部分压器电阻梯。

## 5 引脚配置和功能

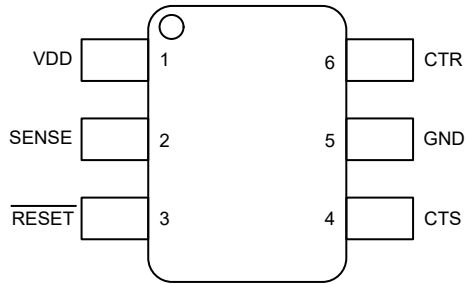


图 5-1. TPS3842A、TPS3842B DRL 封装  
6 引脚 SOT5X3  
顶视图

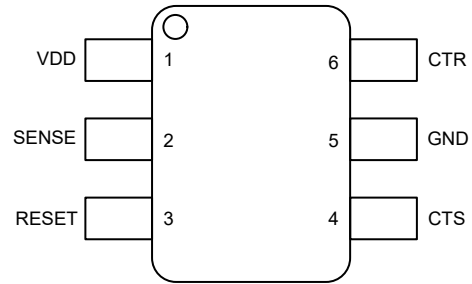


图 5-2. TPS3842C DRL 封装  
6 引脚 SOT5X3  
顶视图

表 5-1. 引脚功能

| 引脚    |        | I/O | 说明   |
|-------|--------|-----|--|
| 名称    | SOT5X3 |     |  |
| VDD   | 1      | I   | 电源电压引脚。  |
| SENSE | 2      | I   | 检测输入。基于内部电压阈值监控输入电压。有关详细信息，请参阅节 7.3.1。   |
| RESET | 3      | O   | 低电平有效型号的输出复位信号。使用上拉电阻将 $\overline{\text{RESET}}$ 连接至上拉电压。有关详细信息，请参阅节 7.3.4。                          |
| RESET | 3      | O   | 高电平有效型号的输出复位信号。使用上拉电阻将 $\overline{\text{RESET}}$ 连接至上拉电压。有关更多详细信息，请参阅节 7.3.4。                        |
| CTS   | 4      | I   | 检测延时时间：电容器可编程检测延迟：CTS 引脚在将复位条件置为有效时提供用户可调节的检测延时时间。有关详细信息，请参阅节 7.3.2。                                 |
| GND   | 5      | —   | 接地引脚。  |
| CTR   | 6      | I   | 复位延时时间： $\overline{\text{RESET}}$ 引脚的用户可编程复位延时时间。连接外部电容器来实现可调节的延时时间，或使引脚悬空来实现最短延时。有关详细信息，请参阅节 7.3.3。 |

## 6 规格

### 6.1 绝对最大额定值

在自然通风条件下的工作温度范围内测得 (除非另有说明) (1)

|       |  | 最小值  | 最大值 | 单位 |
|-------|--|------|-----|----|
| 电压    | $V_{DD}$ 、 $V_{SENSE}$ 、 $V_{RESET}$ 、 $V_{RESET}$ | -0.3 | 50  | V  |
| 电压    | $V_{CTR}$ 、 $V_{CTS}$                              | -0.3 | 5.5 | V  |
| 电流    | $I_{RESET}$ 、 $I_{RESET}$                          |      | ±40 | mA |
| 温度(2) | 工作结温, $T_J$  | -55  | 150 | °C |
|       | 自然通风工作温度范围, $T_A$                                  | -55  | 150 | °C |
|       | 贮存温度, $T_{stg}$                                    | -65  | 150 | °C |

- (1) 超出“绝对最大额定值”下列出的压力可能会对器件造成损坏。这些列出的值只是应力额定值,并不意味着器件能够在该等条件下以及在建议运行条件以外的任何其他条件下正常运行。长时间处于绝对最大额定条件下可能会影响器件的可靠性。
- (2) 由于该器件的耗散功率较低,因此假设工作温度  $T_J = T_A$ 。

### 6.2 ESD 等级

|             |      |                                     | 值     | 单位 |
|-------------|------|-------------------------------------|-------|----|
| $V_{(ESD)}$ | 静电放电 | 人体放电模型 (HBM), 符合 AEC Q100-002 标准(1) | ±2000 | V  |
|             |      | 充电器件模型 (CDM), 符合 AEC Q100-011 标准    | ±750  |    |

- (1) AEC Q100-002 指示应当按照 ANSI/ESDA/JEDEC JS-001 规范执行 HBM 应力测试。

### 6.3 建议运行条件

|       |   | 最小值 | 标称值 | 最大值 | 单位 |
|-------|---|-----|-----|-----|----|
| 电压    | $V_{DD}$                                | 1.9 |     | 42  | V  |
| 电压    | $V_{SENSE}$ 、 $V_{RESET}$ 、 $V_{RESET}$ | 0   |     | 42  | V  |
| 电压    | $V_{CTS}$ 、 $V_{CTR}$                   | 0   |     | 5   | V  |
| 电流    | $I_{RESET}$ 、 $I_{RESET}$               | 0   |     | 10  | mA |
| $T_A$ | 结温 (自然通风温度)                             | -40 |     | 125 | °C |

### 6.4 热性能信息

| 热指标(1)               |              | TPS3842-Q1 |  | 单位   |
|----------------------|--------------|------------|--|------|
|                      |              | DRL        |  |      |
|                      |              | 6 引脚       |  |      |
| $R_{\theta JA}$      | 结至环境热阻       | 153.4      |  | °C/W |
| $R_{\theta JC(top)}$ | 结至外壳 (顶部) 热阻 | 86.3       |  | °C/W |
| $R_{\theta JB}$      | 结至电路板热阻      | 42.8       |  | °C/W |
| $\Psi_{JT}$          | 结至顶部特征参数     | 2.9        |  | °C/W |
| $\Psi_{JB}$          | 结至电路板特征参数    | 41.2       |  | °C/W |

- (1) 有关新旧热指标的更多信息,请参阅[半导体](#)和[IC 封装热指标](#)应用报告。

## 6.5 电气特性

$1.9V \leq V_{DD} \leq 42V$ , CTS = CTR = 开路,  $\overline{\text{RESET}}$  电压 ( $V_{\text{RESET}}$ ) =  $100k\Omega$  至  $V_{DD}$ ,  $\overline{\text{RESET}}$  负载 =  $50pF$ , 并且在自然通风条件下的工作温度范围 ( $-40^\circ\text{C}$  至  $125^\circ\text{C}$ ) 内, 除非另有说明。  $T_A = 25^\circ\text{C}$  时的典型值。

| 参数          |                                 | 测试条件   | 最小值  | 典型值       | 最大值  | 单位            |
|-------------|---------------------------------|--|------|-----------|------|---------------|
| $V_{DD}$    | 电源电压                            |  | 1.9  |           | 42   | V             |
| $V_{POR}$   | 上电复位电压 <sup>(1)</sup><br>(欠压型号) | $V_{OL(max)} = 0.25V, I_{\text{RESET (Sink)}} = 15\mu\text{A}$   |      |           | 1.3  | V             |
|             | 上电复位电压 <sup>(1)</sup><br>(过压型号) | $V_{OL(max)} = 0.25V, I_{\text{RESET (Sink)}} = 15\mu\text{A}$ 或 $I_{\text{RESET (Sink)}} = 15\mu\text{A}$ |      |           | 1.7  | V             |
| $V_{ITN}$   | 负向阈值精度<br>(欠压型号)                | 固定内部阈值, $V_{ITN} = 2.7V$ 至 $9.5V$  | -1.5 | $\pm 0.5$ | 1.5  | %             |
|             |                                 | 可调内部阈值, $V_{ITP} = 700mV$  | -1.5 | $\pm 0.5$ | 1.5  | %             |
| $V_{ITP}$   | 正向阈值精度<br>(过压型号)                | 固定内部阈值, $V_{ITP} = 2.7V$ 至 $6.5V$ 、<br>$13V$ 至 $18V$   | -1.5 | $\pm 0.5$ | 1.5  | %             |
|             |                                 | 可调内部阈值, $V_{ITP} = 700mV$  | -1.5 | $\pm 0.5$ | 1.5  | %             |
| $V_{HYS}$   | 迟滞电压 <sup>(2)</sup>             | 1% 型号  | 0.5  | 1         | 1.5  | %             |
| $V_{HYS}$   | 迟滞电压 <sup>(2)</sup>             | 5% 型号  | 4.5  | 5         | 5.5  | %             |
| $V_{HYS}$   | 迟滞电压 <sup>(2)</sup>             | 10% 型号   | 9.5  | 10        | 10.5 | %             |
| $I_{DD}$    | 电源电流                            | $V_{DD} = 12V$ , $\overline{\text{RESET}}$ 或 $\text{RESET} =$ 无效   |      | 0.85      | 1.9  | $\mu\text{A}$ |
| $I_{SENSE}$ | 输入电流, SENSE 引脚                  | $V_{SENSE} = V_{IT}$ , 可调节版本   |      |           | 25   | nA            |
| $I_{SENSE}$ | 输入电流, SENSE 引脚                  | $V_{SENSE} = 12V$ , 固定版本   |      | 1.35      | 2.5  | $\mu\text{A}$ |
| $V_{OL}$    | 低电平输出电压                         | $1.9V \leq V_{DD} < 42V$ 、 $I_{\text{RESET (Sink)}} = 0.5mA$ 或 $I_{\text{RESET (Sink)}} = 0.5mA$           |      |           | 300  | mV            |
| $I_{LKG}$   | 开漏输出漏电流                         | $V_{DD} = V_{\text{RESET}} = V_{\text{RESET}} = 12V$   |      |           | 300  | nA            |

(1)  $V_{POR}$  是受控输出状态下的最小  $V_{DD}$  电压电平。

(2) 迟滞与跳闸点  $V_{ITP}$  相关。

## 6.6 时序要求

$1.9V \leq V_{DD} \leq 42V$ , CTS = CTR = 开路,  $\overline{\text{RESET}}$  电压 ( $V_{\text{RESET}}$ ) =  $100k\Omega$  至  $V_{DD}$ ,  $\overline{\text{RESET}}$  负载 =  $50pF$ , 并且在自然通风条件下的工作温度范围 (  $-40^{\circ}\text{C}$  至  $125^{\circ}\text{C}$  ) 内, 除非另有说明。  $T_A = 25^{\circ}\text{C}$  时的典型值。

|                |   |          | 最小值 | 标称值 | 最大值 | 单位            |
|----------------|---|----------|-----|-----|-----|---------------|
| $t_{GI} (VIT)$ | 毛刺抑制欠压 $V_{ITN(UV)}$ , 20% 过驱 <sup>(1)</sup>  | CTS = 开路 |     | 5   |     | $\mu\text{s}$ |
|                | 毛刺抑制过压, $V_{ITP(OV)}$ , 20% 过驱 <sup>(1)</sup> | CTS = 开路 |     | 5   |     | $\mu\text{s}$ |

(1) 高于阈值 20% 的过驱。过驱 % =  $[V_{\text{SENSE}} + V_{ITP}] / V_{ITP}$

## 6.7 开关特性

$1.9V \leq V_{DD} \leq 42V$ , CTS = CTR = 开路,  $\overline{\text{RESET}}$  电压 ( $V_{\text{RESET}}$ ) =  $100k\Omega$  至  $V_{DD}$ ,  $\overline{\text{RESET}}$  负载 =  $50pF$ , 并且在自然通风条件下的工作温度范围 (  $-40^{\circ}\text{C}$  至  $125^{\circ}\text{C}$  ) 内, 除非另有说明。  $T_A = 25^{\circ}\text{C}$  时的典型值。

|           |                           |                        | 最小值 | 标称值   | 最大值 | 单位            |
|-----------|---------------------------|------------------------|-----|-------|-----|---------------|
| $t_{CTR}$ | 复位延时时间                    | CTR = 开路               |     | 250   |     | $\mu\text{s}$ |
| $t_{CTR}$ | 复位延时时间                    | CTR = $0.1\mu\text{F}$ |     | 285.8 |     | ms            |
| $t_{CTR}$ | 复位延时时间                    | CTR = $3.3\mu\text{F}$ |     | 9.43  |     | s             |
| $t_{PD}$  | 传播检测延迟 <sup>(1) (2)</sup> | CTS = 开路, ADJ $V_{th}$ |     | 7     |     | $\mu\text{s}$ |
| $t_{PD}$  | 传播检测延迟 <sup>(1) (2)</sup> | CTS = 开路, 固定 $V_{th}$  |     | 9     |     | $\mu\text{s}$ |
| $t_{CTS}$ | 检测延时时间                    | CTS = $0.1\mu\text{F}$ |     | 300   |     | ms            |
| $t_{SD}$  | 启动延迟 <sup>(3)</sup>       |                        |     | 300   |     | $\mu\text{s}$ |

(1) 高于阈值 20% 的过驱。过驱 % =  $[V_{\text{SENSE}} + V_{ITP}] / V_{ITP}$

(2)  $t_{PD}$  从阈值跳闸点 ( $V_{ITP}$ ) 到低电平有效器件的  $\overline{\text{RESET}}$   $V_{OL}$  电压和高电平有效器件的  $\overline{\text{RESET}}$   $V_{OH}$  之间的测量值

(3) 在上电序列期间, 在输出处于正确状态之前,  $V_{DD}$  必须达到或高于  $V_{DD(MIN)}$  并至少维持  $t_{SD} + t_{CTR}$  时间。

### 6.8 时序图

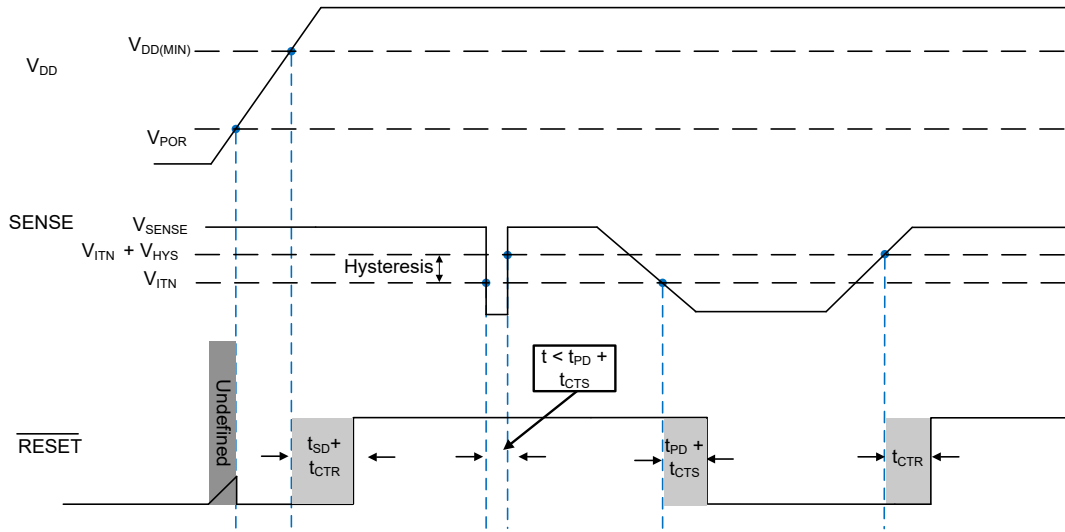


图 6-1. 欠压时序图

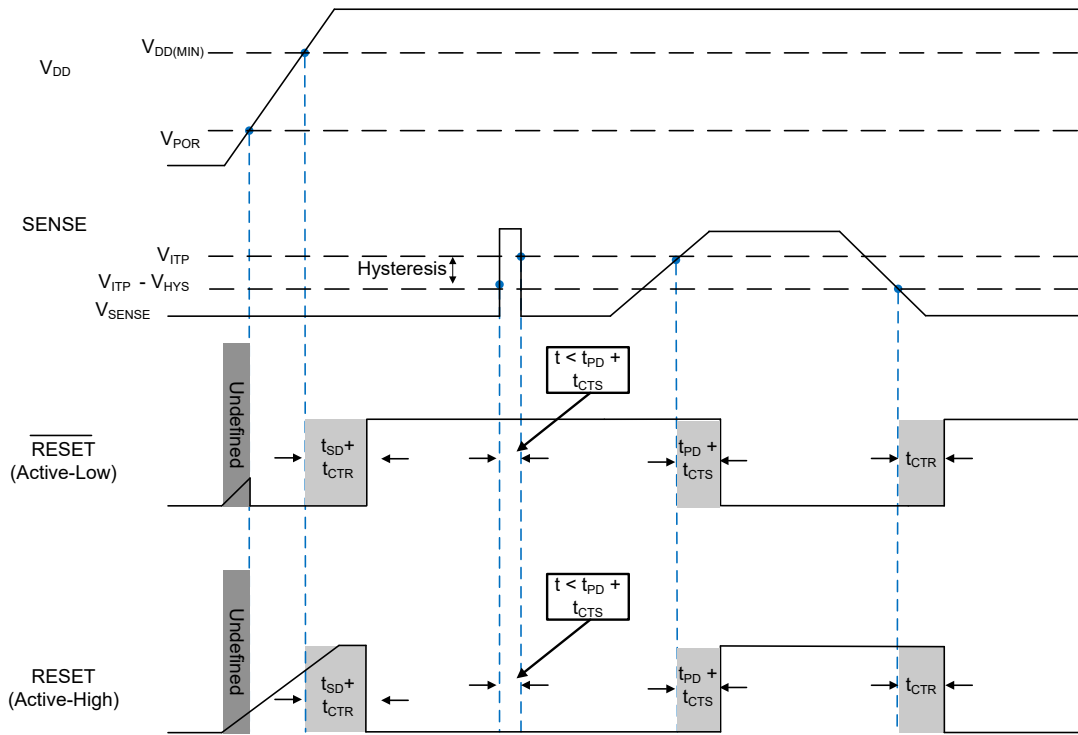


图 6-2. 过压时序图

## 6.9 典型特性

$T_A = 25^\circ\text{C}$ 、 $V_{DD} = 3.3\text{V}$ 、 $R_{\text{RESET}} = 100\text{k}\Omega$ 、 $C_{\text{LRESET}} = 50\text{pF}$  (除非另有说明)。

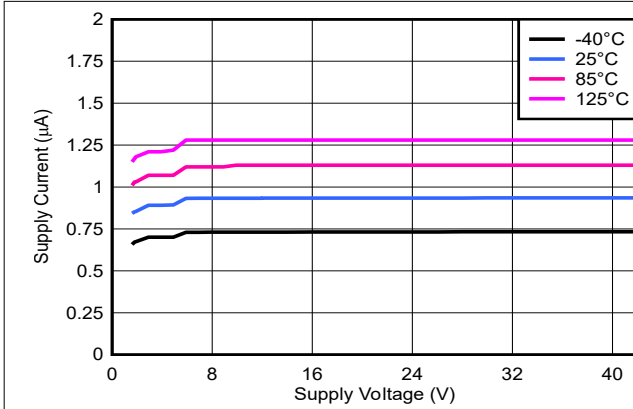


图 6-3. 电源电流与电源电压间的关系

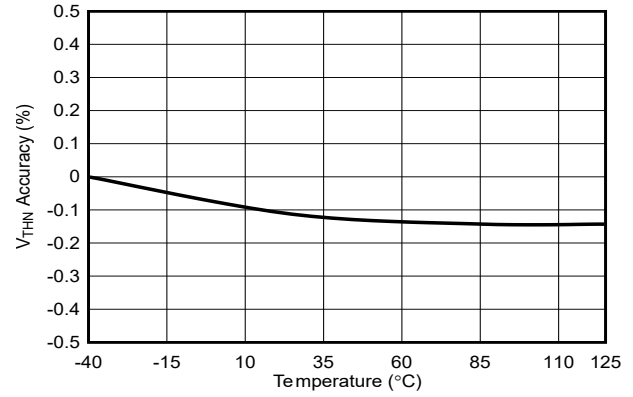


图 6-4.  $V_{\text{THN}}$  精度与温度间的关系

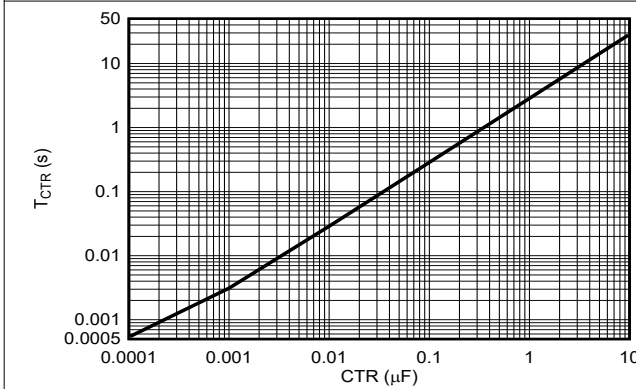


图 6-5.  $T_{\text{CTR}}$  与  $\text{CTR}$  间的关系

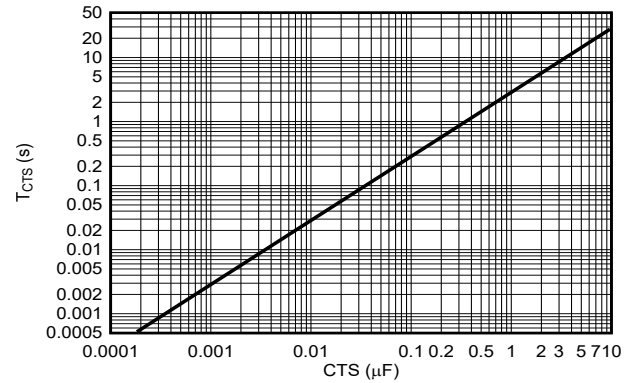


图 6-6.  $T_{\text{CTS}}$  与  $\text{CTS}$  间的关系

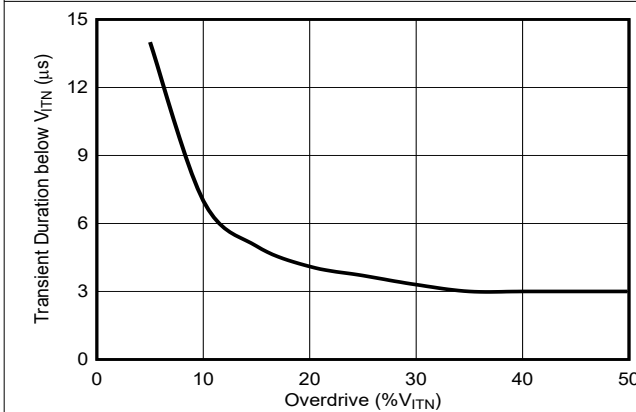


图 6-7. SENSE 上的瞬态持续时间与 SENSE 阈值过驱电压间的关系 (CTS = 开路)

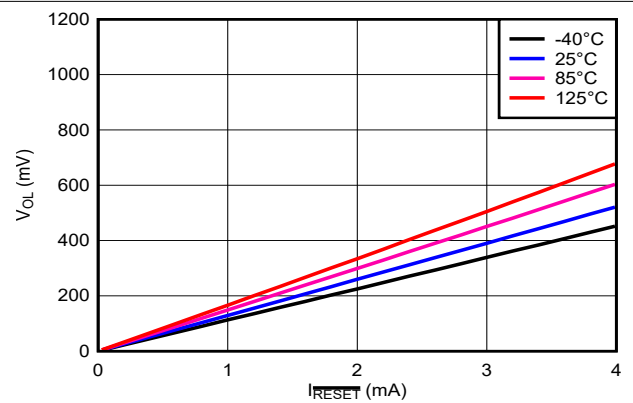


图 6-8. RESET 灌电流与  $V_{\text{OL}}$  间的关系 ( $V_{\text{DD}} = 3.3\text{V}$ )

### 6.9 典型特性 (续)

$T_A = 25^\circ\text{C}$ 、 $V_{DD} = 3.3\text{V}$ 、 $R_{\text{RESET}} = 100\text{k}\Omega$ 、 $C_{\text{LRESET}} = 50\text{pF}$  (除非另有说明)。

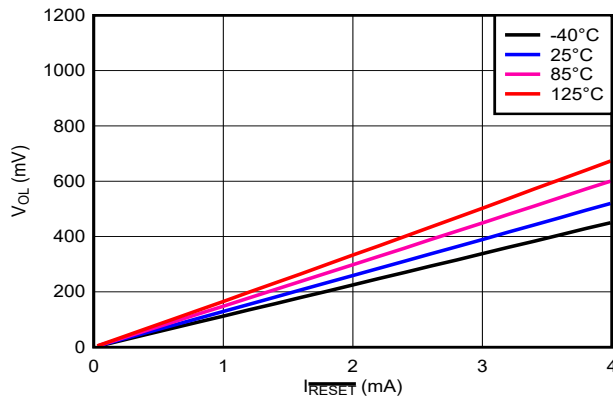


图 6-9. RESET 灌电流与  $V_{\text{OL}}$  间的关系 ( $V_{\text{DD}} = 12\text{V}$ )

## 7 详细说明

### 7.1 概述

TPS3842-Q1 高电压监控器产品系列可在当 SENSE 引脚电压降至  $V_{IT}$  以下，且将  $V_{IT}$  保持用户确定的时间后，将  $\overline{\text{RESET}}/\text{RESET}$  信号置为有效。在 SENSE 电压恢复至高于相应阈值和迟滞之后， $\overline{\text{RESET}}/\text{RESET}$  输出在用户可调节的时间内保持有效状态。

VDD、SENSE 和  $\overline{\text{RESET}}/\text{RESET}$  引脚可支持 42V 连续运行。所有 VDD、SENSE 和  $\overline{\text{RESET}}/\text{RESET}$  电压电平可以互不相关。TPS3842-Q1 具有电容器可编程检测延时时间 (CTS)，可用于设置  $\overline{\text{RESET}}/\text{RESET}$  置为有效之前欠压事件的最短持续时间。CTS 功能也可用作可编程抗尖峰脉冲来避免错误复位。TPS3842-Q1 还具有电容器可编程复位延时时间 (CTR)，可用于设置欠压事件后  $\overline{\text{RESET}}/\text{RESET}$  置为有效的最短持续时间。

### 7.2 功能方框图

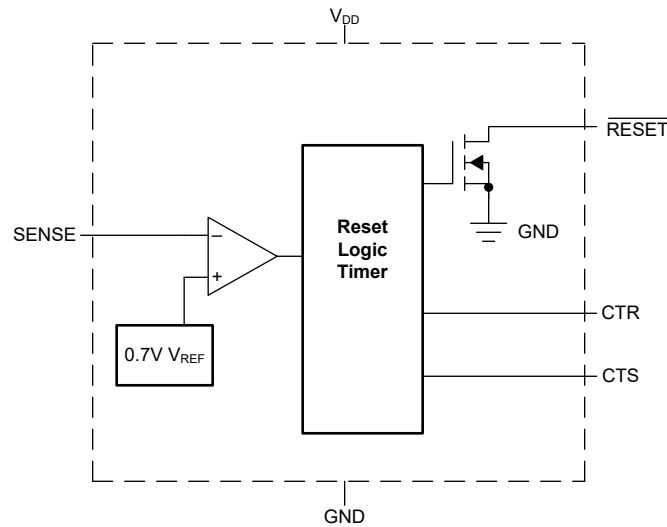


图 7-1. 欠压可调电压版本

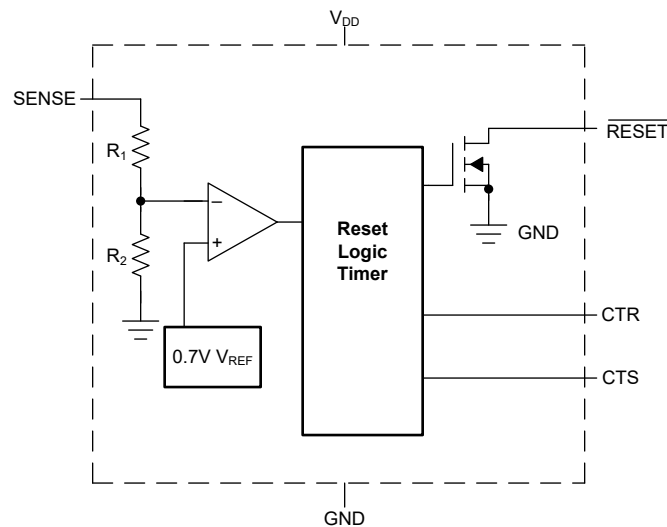


图 7-2. 欠压固定电压版本

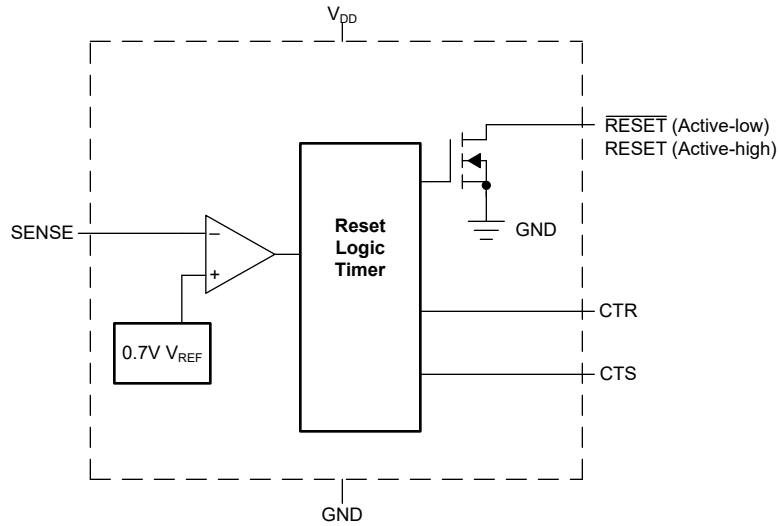


图 7-3. 过压可调电压图

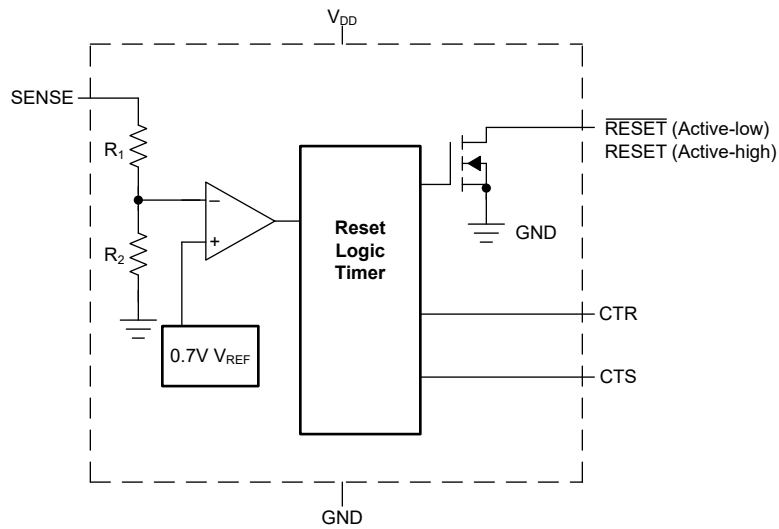


图 7-4. 过压固定电压图

## 7.3 特性说明

TPS3842 器件具有各种电压阈值和迟滞选项，因此可用于各种应用。复位阈值电压可以在出厂时设置为 0.7V 至 18V 可调电压或 2.7V 固定电压。可通过使用外部电阻分压器将可调型号设置为任何高于 0.7V 的电压。通过在 CTR 和 GND 之间连接一个电容器，设计人员可选择高达 10 $\mu$ F 的任意复位延时时间。通过在 CTS 和 GND 之间连接一个电容器，设计人员可选择高达 10 $\mu$ F 的任意检测延时时间。

### 7.3.1 SENSE 输入

SENSE 输入提供了一个可以监控任何系统电压的引脚。如果此引脚上的电压降至低于  $V_{ITN}$  的时间达到  $t_{PD}+t_{CTS}$  时间间隔，则  $\overline{\text{RESET}}/\text{RESET}$  置为有效。比较器具有内置迟滞，用于抑制意外  $\overline{\text{RESET}}/\text{RESET}$  置位和取消置位。对于嘈杂环境，良好的模拟设计实践是在 SENSE 输入端放置一个 1nF 旁路电容器，用于降低对瞬态和布局寄生效应的敏感性，或利用 CTS 功能来设置在  $\overline{\text{RESET}}/\text{RESET}$  置为有效之前的最短故障时间间隔。

图 7-5 展示了一个有关如何使用外部电阻分压器调节电压阈值的示例。可以根据所需的电压阈值和器件型号来计算电阻值。TI 建议在使用外部电阻分压器时使用 700mV 阈值选项。在使用外部电阻器时，该型号会绕过内部电阻梯，从而实现更高的精度。

例如，考虑使用 TPS3842A011DRLRQ1 型号监控 12V 电压轨  $V_{MON}$  的欠压(UV)，如图 7-5 所示。监测的 UV 阈值表示为  $V_{MON-}$ ，这是器件将复位置为有效时所需的电压。对于此示例， $V_{MON-} = 5.8V$ 。要使欠压复位被置为有效，SENSE 引脚的电压  $V_{SENSE}$  需要等于输入负向阈值  $V_{ITN}$ 。对于此示例型号， $V_{SENSE} = V_{ITN} = 0.7V$ 。使用  $R_1$  和  $R_2$ ，可以在方程式 1 中看到  $V_{MON-}$  和  $V_{SENSE}$  之间的相关性。假设  $R_1 = 100k\Omega$ ，则可以计算出  $R_2$ ，即  $R_2 = 13.7k\Omega$ 。

$$V_{SENSE} = V_{MON-} \times (R_2 \div (R_1 + R_2)) \quad (1)$$

TPS3842-Q1 的迟滞取决于所选的配置。要使复位信号被置为无效， $V_{MON}$  必须高于  $V_{ITN} + V_{HYS}$ 。在此示例型号中，选择了 1% 的电压阈值迟滞。因此，当复位信号被置为无效时， $V_{MON}$  等于 5.858V。如果改为使用 10% 的迟滞选项，则当复位信号被置为无效时， $V_{MON}$  等于 6.38V。

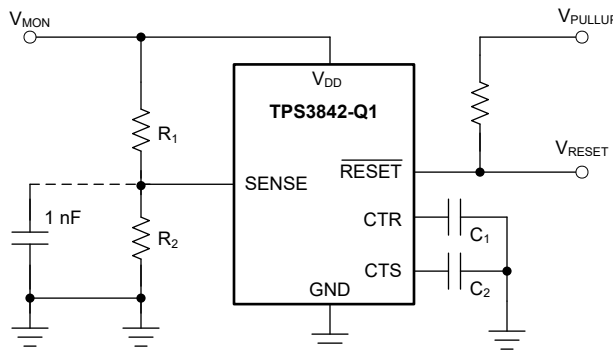


图 7-5. 使用 TPS3842A011DRLRQ1 监控用户定义的阈值电压

### 7.3.1.1 SENSE 迟滞

TPS3842-Q1 器件在 UV 阈值附近提供内置迟滞，以避免错误的  $\overline{\text{RESET}}/\text{RESET}$  失效。迟滞 ( $V_{\text{HYS}}$ ) 被添加到负阈值 ( $V_{\text{ITN}}$ ) 并减去正阈值 ( $V_{\text{ITP}}$ )。

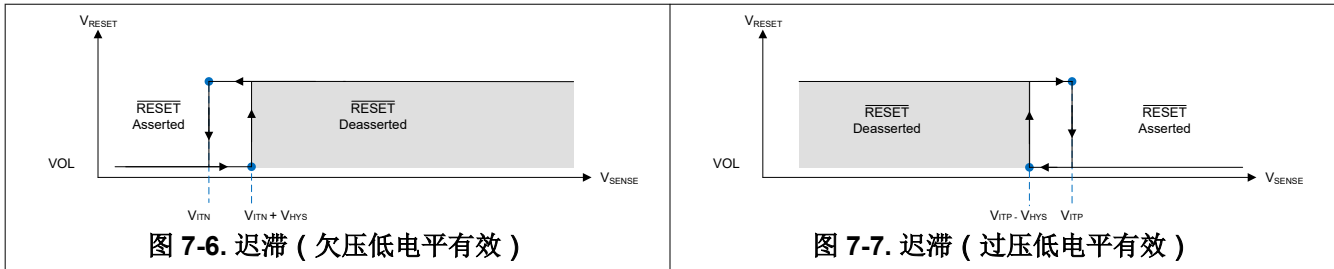


图 7-6. 迟滞 (欠压低电平有效)

图 7-7. 迟滞 (过压低电平有效)

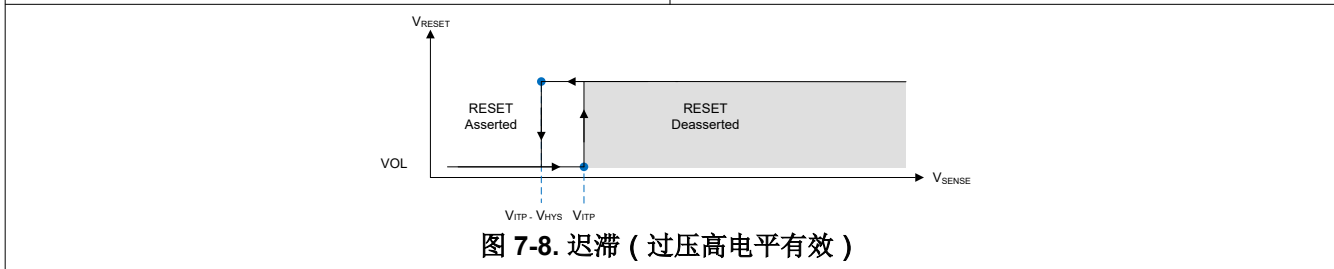


图 7-8. 迟滞 (过压高电平有效)

表 7-1. 常见的可调节迟滞查询表

| 器件型号              | 器件迟滞选项 |
|-------------------|--------|
| TPS3842Axx1DRLRQ1 | 1%     |
| TPS3842Axx5DRLRQ1 | 5%     |
| TPS3842Axx0DRLRQ1 | 10%    |

迟滞取决于器件  $V_{\text{IT}}$ ，包括  $V_{\text{IT}}$  精度和偏差。

欠压 (UV)

$$V_{\text{ITN}} = 700\text{mV}$$

$$\text{电压迟滞 } (V_{\text{HYS}}) = 1\% = V_{\text{ITN}} \times 1\% = 7\text{mV}$$

$$\text{释放电压} = V_{\text{ITN}} + V_{\text{HYS}} = 707\text{mV}$$

过压 (OV)

$$V_{\text{ITP}} = 700\text{mV}$$

$$\text{电压迟滞 } (V_{\text{HYS}}) = 1\% = V_{\text{ITN}} \times 1\% = 7\text{mV}$$

$$\text{释放电压} = V_{\text{ITP}} - V_{\text{HYS}} = 693\text{mV}$$

### 7.3.2 选择 SENSE 延迟时间

TPS3842-Q1 具有可通过外部电容器调节的检测延时时间。

- CTS 上的电容器在  $\overline{\text{RESET}}$  置为有效之前对最小故障时间间隔进行编程。
- 此引脚上没有电容器可提供由节 6.6 中的  $t_{PD}$  指示的最快检测延时时间。
- CTS 引脚上的寄生电容计为 CTS 电容并增加  $t_{CTS}$ 。

可以通过在 CTS 引脚和 GND 之间连接一个电容器来对延时时间 ( $t_{CTS}$ ) 进行编程。

方程式 2 提供了外部电容器  $C_{CTS\_EXT (typ)}$  与延时时间  $t_{CTS (typ)}$  间的关系。

$$t_{CTS (typ)} = 2.858 \times C_{CTS\_EXT (typ)} \quad (2)$$

$t_{CTS (typ)}$  = 以秒 (s) 为单位

$C_{CTS\_EXT (typ)}$  = 以微法拉 ( $\mu F$ ) 为单位

检测延迟随外部电容器 ( $C_{CTS\_EXT}$ ) 的不同而变化。方程式 3 和方程式 4 展示了因该常数而产生的最小和最大变化值：

$$t_{CTS (max)} = 3.715 \times C_{CTS\_EXT (max)} \quad (3)$$

$$t_{CTS (min)} = 2 \times C_{CTS\_EXT (min)} \quad (4)$$

确保在发生电压故障时有足够的时间让电容器完全放电，从而防止 CTS 电容器在下一次故障之前充电。此外，电容值过大会导致充电（上升时间）非常慢，并且系统噪声会导致内部电路在阈值附近提前跳闸或延后跳闸。

---

#### 备注

电容器上的泄漏会影响检测延时时间的准确性。

---

### 7.3.3 选择 RESET 延时时间

TPS3842-Q1 通过外部电容器实现可调节复位释放延时时间。

- CTR 上的电容器对输出的复位延时时间进行编程。
- 此引脚上没有电容器，可实现最短的复位延时时间。
- CTR 引脚上的寄生电容计为 CTR 电容并增加  $t_{CTR}$ 。

可以通过在 CTR 引脚和 GND 之间连接一个电容器来对延时时间 ( $t_{CTR}$ ) 进行编程。

方程式 5 给出了外部电容器  $C_{CTR\_EXT (typ)}$  与延时时间  $t_{CTR (typ)}$  间的关系。

$$t_{CTR (typ)} = 2.858 \times C_{CTR\_EXT (typ)} \quad (5)$$

$t_{CTR (typ)}$  = 以秒 (s) 为单位

$C_{CTR\_EXT (typ)}$  = 以微法拉 ( $\mu F$ ) 为单位

复位延迟随外部电容器 ( $C_{CTR\_EXT}$ ) 的不同而变化。方程式 6 和方程式 7 展示了因该常数而产生的最小方差和最大方差：

$$t_{CTR (max)} = 3.715 \times C_{CTR\_EXT (max)} \quad (6)$$

$$t_{CTR (min)} = 2 \times C_{CTR\_EXT (min)} \quad (7)$$

如果电容值过大 ( $>10\mu F$ )，会因电容器漏电和系统噪声而导致充电 (上升时间) 非常慢，从而导致内部电路使  $\overline{RESET}$  保持有效。

\* 电容器上的泄漏会影响复位延时时间的准确性。

### 7.3.4 RESET 输出

$\overline{RESET}$  (低电平有效) 在引脚标签上方用一条横线表示。只要检测电压在高于阈值边界时正常运行且 VDD 电压高于  $V_{DD(min)}$ ， $\overline{RESET}$  就会保持高电压 ( $V_{OH}$  取消置位) (开漏变型  $V_{OH}$  根据上拉电压进行测量)。如果 SENSE 降至低于  $V_{ITN}$  的时间长于  $t_{CTS}$ ， $\overline{RESET}$  将被置位，将  $\overline{RESET}$  引脚驱动至低阻抗。

SENSE 的电压高于  $V_{ITN} + V_{HYS}$  之后，就会启用一个延迟电路 (CTR)，它会在指定的复位延时时间内将  $\overline{RESET}$  保持为低电平。一旦复位延时时间结束， $\overline{RESET}$  引脚将进入高阻抗状态。

对于过压低电平有效型号，当 SENSE 高于  $V_{ITP}$  的时间长于  $t_{CTS}$  时， $\overline{RESET}$  置为有效。SENSE 的电压低于  $V_{ITP} - V_{HYS}$  之后，就会启用一个延迟电路 (CTR)，它会在指定的复位延时时间内将  $\overline{RESET}$  保持为低电平。一旦复位延时时间结束， $\overline{RESET}$  引脚将进入高阻抗状态。

对于过压高电平有效型号，当 SENSE 高于  $V_{ITP}$  的时间长于  $t_{CTS}$  时，使 RESET 无效。SENSE 的电压低于  $V_{ITP} + V_{HYS}$  之后，就会启用一个延迟电路 (CTR)，它会在指定的复位延时时间内将 RESET 保持为无效。一旦复位延时时间结束，将 RESET 引脚置为有效。

开漏输出需要一个外部上拉电阻器来将电压保持在高电平，从而达到所需的电压逻辑。将上拉电阻器连接到适当的电压轨，使输出端能够以正确的接口电压电平连接到其他器件。 $\overline{RESET}/RESET$  支持高达 42V 的上拉电压，与 VDD 和 SENSE 电压无关。

要选择合适的上拉电阻，在设置最大上拉电阻值时，请考虑电气特性中提供的系统  $V_{OH}$  和开漏输出漏电流 ( $I_{LKG}$ )。低上拉电阻值会增加流经内部开漏输出的电流量。流经开漏输出的电流必须低于器件的  $I_{RESET}$ 。

## 7.4 器件功能模式

表 7-2. 欠压真值表

| SENSE > V <sub>ITN</sub> | RESET | VDD                               |
|--------------------------|-------|-----------------------------------|
| 0                        | L     | VDD > VDD(min)                    |
| 1                        | H     | VDD > VDD(min)                    |
| 0 或 1                    | L     | VDD(min) > VDD > V <sub>POR</sub> |

表 7-3. 过压真值表

| SENSE < V <sub>ITP</sub> | RESET | RESET | VDD                               |
|--------------------------|-------|-------|-----------------------------------|
| 0                        | L     | H     | VDD > VDD(min)                    |
| 1                        | H     | L     | VDD > VDD(min)                    |
| 0 或 1                    | L     | H     | VDD(min) > VDD > V <sub>POR</sub> |

### 7.4.1 正常运行 (V<sub>DD</sub> > V<sub>DD(min)</sub>)

当 V<sub>DD</sub> 大于 V<sub>DD(min)</sub> 时， $\overline{\text{RESET}}/\text{RESET}$  信号由 SENSE 引脚上的电压决定。

- $\overline{\text{RESET}}/\text{RESET}$  信号对应于 SENSE 上相对于 V<sub>ITN</sub> 或 V<sub>ITP</sub> 的电压。

### 7.4.2 高于上电复位但低于 V<sub>DD(min)</sub> (V<sub>POR</sub> < V<sub>DD</sub> < V<sub>DD(min)</sub>)

当 V<sub>DD</sub> 电压小于器件 V<sub>DD(min)</sub> 电压，且大于上电复位电压 (V<sub>POR</sub>) 时， $\overline{\text{RESET}}$  信号将被置位并处于低阻抗状态，无论 SENSE 引脚上的电压是多少。无论 SENSE 引脚上的电压如何，RESET (高电平有效) 信号都会置为无效。

### 7.4.3 低于上电复位 (V<sub>DD</sub> < V<sub>POR</sub>)

当 V<sub>DD</sub> 上的电压低于所需的电压 (V<sub>POR</sub>) 时， $\overline{\text{RESET}}/\text{RESET}$  未定义。

## 8 应用和实施

### 备注

以下应用部分中的信息不属于 TI 元件规格，TI 不担保其准确性和完整性。TI 的客户负责确定元件是否适合其用途，以及验证和测试其设计实现以确认系统功能。

### 8.1 应用信息

以下各节根据最终应用要求详细介绍了相应的器件实施方式。

### 8.2 典型应用

图 8-1 展示了 TPS3842-Q1 用于监测 12V 汽车电池的典型应用。开漏  $\overline{\text{RESET}}$  输出通常连接到微处理器的  $\overline{\text{RESET}}$  输入，从而在电池低于  $V_{\text{ITN}}$  时发出信号。当  $\overline{\text{RESET}}$  取消置位时，必须使用上拉电阻将此线保持为高电平。电压低于  $V_{\text{POR}}$  时， $\overline{\text{RESET}}$  输出未定义，但此特性通常不是问题，因为大多数微处理器在低于此电压时都不会运行。

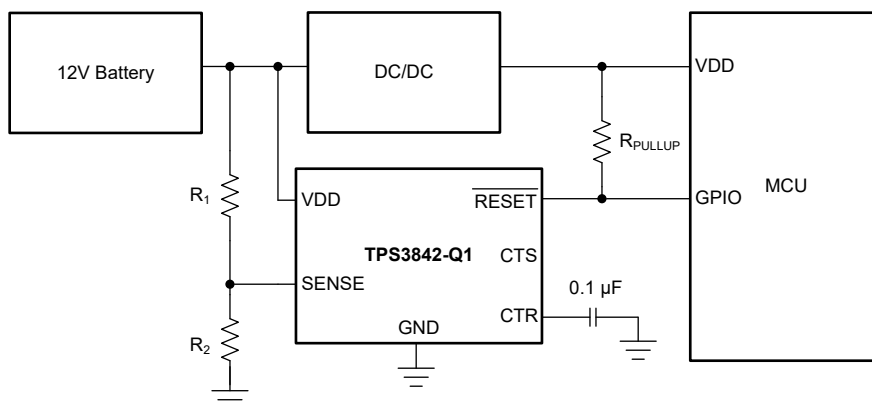


图 8-1. TPS3842-Q1 监测 12V 电源的典型应用

#### 8.2.1 设计要求

表 8-1. 设计参数

| 参数                           | 设计要求            |
|------------------------------|-----------------|
| 电压阈值                         | 典型 UV 电压阈值 5.5V |
| 输出逻辑                         | 开漏              |
| SENSE 延迟                     | < 0.2ms         |
| $\overline{\text{RESET}}$ 延迟 | 300ms           |

### 8.2.2 详细设计过程

TPS3842-Q1 使用高压 SENSE 和  $V_{DD}$  输入来监控 12V 电池是否欠压。在此设计示例中使用了 TPS3842A011DRLRQ1。

负向阈值电压  $V_{ITN}$  取决于器件型号。在此示例中，电池的标称电源电压为 12V。将欠压阈值设置为 5.5V (比 12V 低 6.5V)，确保在电源电压超出直流/直流转换器允许的边界并指示电池已放电之前器件会复位。选择可调电压型号并调整  $R_1$  和  $R_2$  以满足阈值。假设  $R_2$  等于  $10k\Omega$ ，且  $R_1$  计算结果为  $68.5k\Omega$ 。有关选择电阻器值的更多信息，请参阅节 7.3.1。TPS3842-Q1 还支持固定电压阈值型号。有关阈值电压解码信息，请参阅节 4。

#### 8.2.2.1 满足检测和复位延迟要求

TPS3842-Q1 同时具有复位位置 (检测) 延迟  $t_{CTS}$  和复位取消置位 (复位) 延迟  $t_{CTR}$ 。节 7.3.2 和节 7.3.3 展示了如何设置电容器可编程延迟的时序。该应用需要小于 0.2ms 的检测延迟，因此不使用电容器，CT 保持开路。该应用需要大于 300ms 的复位延迟，因此使用了  $0.1\mu F$  电容器。

### 8.2.3 应用曲线

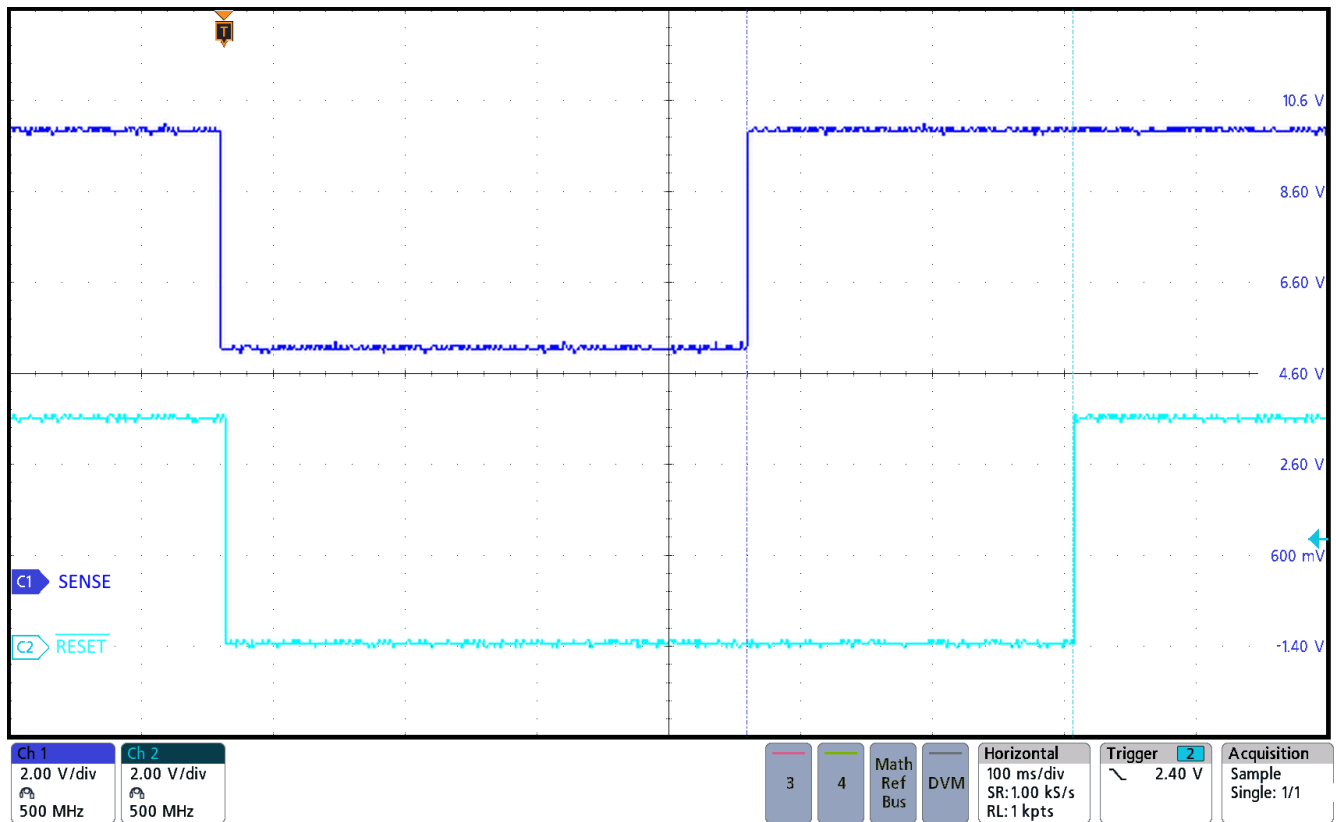


图 8-2. TPS3842-Q1 检测欠压故障和  $\overline{\text{RESET}}$  恢复

### 8.3 电源相关建议

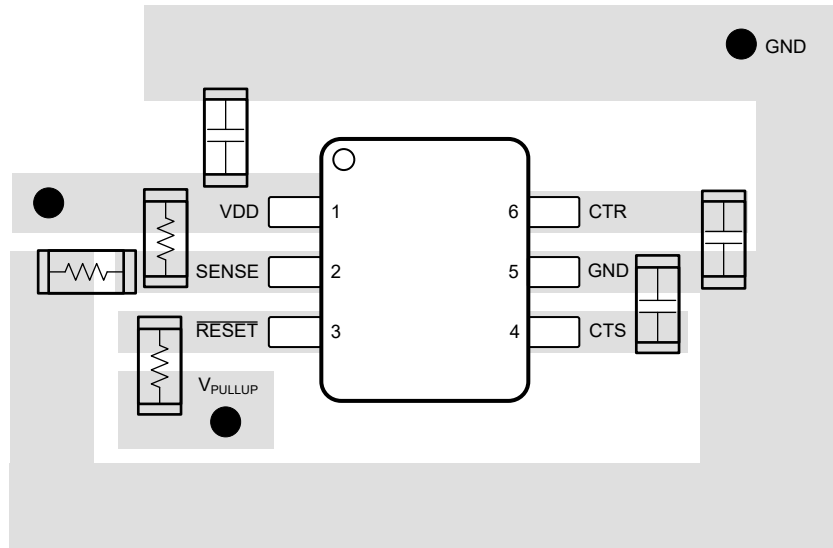
TPS3842-Q1 设计为可通过  $V_{DD}$  电压为 1.9V (最低工作电压) 至 42V (最高工作电压) 之间的输入电源来运行。良好的模拟设计实践建议将一个最低  $0.1\ \mu\text{F}$  的陶瓷电容器尽可能靠近  $V_{DD}$  引脚放置。

### 8.4 布局

#### 8.4.1 布局指南

- 确保与  $V_{DD}$  引脚的连接具有低阻抗。良好的模拟设计实践是尽可能靠近  $V_{DD}$  引脚放置一个大于  $0.1\ \mu\text{F}$  的陶瓷电容器。
- 对于嘈杂环境以及为了增强 **SENSE** 引脚上的抗噪性能，在 **SENSE** 引脚和 **GND** 之间使用可选的  $1\text{nF}$  电容器可以降低对受监控信号上瞬态电压的灵敏度。增强抗噪性能的替代方法是使用 **CTS** 功能。
- 如果在 **CTS** 或 **CTR** 上使用了电容器，请将这些元件尽可能靠近相应的引脚放置。如果电容器可调引脚保持未连接，请确保尽量减小寄生电容值，以免影响  $t_{PD}$  或  $t_{CTR}$ 。
- 将 **RESET/RESET** 上的上拉电阻尽可能靠近引脚放置。
- 布置金属走线时，应尽量将高压走线与低压走线分开。
- 高压金属焊盘或走线与低压金属焊盘或走线的距离不要超过 20mil (0.5mm)。

#### 8.4.2 布局示例



● Vias used to connect pins for application-specific connections

图 8-3. TPS3842-Q1 建议布局

## 9 器件和文档支持

### 9.1 器件支持

### 9.2 文档支持

### 9.3 支持资源

[TI E2E™ 中文支持论坛](#)是工程师的重要参考资料，可直接从专家处获得快速、经过验证的解答和设计帮助。搜索现有解答或提出自己的问题，获得所需的快速设计帮助。

链接的内容由各个贡献者“按原样”提供。这些内容并不构成 TI 技术规范，并且不一定反映 TI 的观点；请参阅 TI 的[使用条款](#)。

### 9.4 商标

TI E2E™ is a trademark of Texas Instruments.

所有商标均为其各自所有者的财产。

### 9.5 静电放电警告



静电放电 (ESD) 会损坏这个集成电路。德州仪器 (TI) 建议通过适当的预防措施处理所有集成电路。如果不遵守正确的处理和安装程序，可能会损坏集成电路。

ESD 的损坏小至导致微小的性能降级，大至整个器件故障。精密的集成电路可能更容易受到损坏，这是因为非常细微的参数更改都可能会导致器件与其发布的规格不相符。

### 9.6 术语表

[TI 术语表](#) 本术语表列出并解释了术语、首字母缩略词和定义。

## 10 修订历史记录

注：以前版本的页码可能与当前版本的页码不同

| Changes from Revision A (August 2024) to Revision B (October 2025) | Page |
|--|------|
| • 更新了 <b>标题</b> 以包含“过压”。.....                                      | 1    |
| • 全篇添加了过压选项.....   | 1    |
| • 更新了 <b>特性</b> 列表.....  | 1    |
| • 在 <b>说明</b> 中添加了过压.....  | 1    |
| • 删除了命名表。.....   | 3    |
| • 更新了器件命名约定表。.....   | 3    |
| • 更新了 <b>引脚配置和功能</b> .....   | 4    |
| • 更新了 <b>建议运行条件、电气特性、时序要求、开关特性</b> 以包括过压型号电气规格.....                | 5    |
| • 在 <b>时序图</b> 中添加了过压.....   | 8    |
| • 向 <b>概述</b> 添加了过压说明.....   | 11   |
| • 更新了 <b>功能方框图</b> .....   | 11   |
| • 将 <b>特性说明</b> 中的 9.5V 更新为 18V.....                               | 13   |
| • 向 <b>SENSE 输入</b> 说明中添加了过压 RESET。.....                           | 13   |
| • 添加了过压迟滞图和公式，用于 <b>SENSE 迟滞</b> .....                             | 14   |
| • 向 <b>RESET 输出</b> 添加了 RESET 功能.....                              | 16   |
| • 向 <b>器件功能模式</b> 添加了过压真值表.....                                    | 17   |
| • 向 <b>器件功能模式</b> 添加了 RESET 说明.....                                | 17   |
| • <b>布局指南</b> 说明增加了 RESET。.....                                    | 20   |

---

**Changes from Revision \* (April 2024) to Revision A (August 2024)**

---

**Page**

|               |                   |
|---------------|-------------------|
| • 量产数据发布..... | <a href="#">1</a> |
|---------------|-------------------|

---

## 11 机械、封装和可订购信息

以下页面包含机械、封装和订购信息。这些信息是指定器件可用的最新数据。数据如有变更，恕不另行通知，且不会对此文档进行修订。如需获取此数据表的浏览器版本，请查看左侧的导航面板。

**PACKAGING INFORMATION**

| Orderable part number             | Status<br>(1) | Material type<br>(2) | Package   Pins    | Package qty   Carrier | RoHS<br>(3) | Lead finish/<br>Ball material<br>(4) | MSL rating/<br>Peak reflow<br>(5) | Op temp (°C) | Part marking<br>(6) |
|-----------------------------------|---------------|----------------------|-------------------|-----------------------|-------------|--------------------------------------|-----------------------------------|--------------|---------------------|
| <a href="#">PPS3842C011DRLRQ1</a> | Active        | Preproduction        | SOT-5X3 (DRL)   6 | 4000   LARGE T&R      | -           | Call TI                              | Call TI                           | -40 to 125   |                     |
| <a href="#">TPS3842A010DRLRQ1</a> | Active        | Production           | SOT-5X3 (DRL)   6 | 4000   LARGE T&R      | Yes         | SN                                   | Level-1-260C-UNLIM                | -40 to 125   | A010Q               |
| TPS3842A010DRLRQ1.A               | Active        | Production           | SOT-5X3 (DRL)   6 | 4000   LARGE T&R      | Yes         | SN                                   | Level-1-260C-UNLIM                | -40 to 125   | A010Q               |
| TPS3842A010DRLRQ1.B               | Active        | Production           | SOT-5X3 (DRL)   6 | 4000   LARGE T&R      | -           | Call TI                              | Call TI                           | -40 to 125   |                     |
| <a href="#">TPS3842A011DRLRQ1</a> | Active        | Production           | SOT-5X3 (DRL)   6 | 4000   LARGE T&R      | Yes         | SN                                   | Level-1-260C-UNLIM                | -40 to 125   | A011Q               |
| TPS3842A011DRLRQ1.A               | Active        | Production           | SOT-5X3 (DRL)   6 | 4000   LARGE T&R      | Yes         | SN                                   | Level-1-260C-UNLIM                | -40 to 125   | A011Q               |
| TPS3842A011DRLRQ1.B               | Active        | Production           | SOT-5X3 (DRL)   6 | 4000   LARGE T&R      | -           | Call TI                              | Call TI                           | -40 to 125   |                     |
| <a href="#">TPS3842A015DRLRQ1</a> | Active        | Production           | SOT-5X3 (DRL)   6 | 4000   LARGE T&R      | Yes         | SN                                   | Level-1-260C-UNLIM                | -40 to 125   | A015Q               |
| TPS3842A015DRLRQ1.A               | Active        | Production           | SOT-5X3 (DRL)   6 | 4000   LARGE T&R      | Yes         | SN                                   | Level-1-260C-UNLIM                | -40 to 125   | A015Q               |
| TPS3842A015DRLRQ1.B               | Active        | Production           | SOT-5X3 (DRL)   6 | 4000   LARGE T&R      | -           | Call TI                              | Call TI                           | -40 to 125   |                     |
| <a href="#">TPS3842A650DRLRQ1</a> | Active        | Production           | SOT-5X3 (DRL)   6 | 4000   LARGE T&R      | Yes         | SN                                   | Level-1-260C-UNLIM                | -40 to 125   | A650Q               |
| TPS3842A650DRLRQ1.A               | Active        | Production           | SOT-5X3 (DRL)   6 | 4000   LARGE T&R      | Yes         | SN                                   | Level-1-260C-UNLIM                | -40 to 125   | A650Q               |
| TPS3842A650DRLRQ1.B               | Active        | Production           | SOT-5X3 (DRL)   6 | 4000   LARGE T&R      | -           | Call TI                              | Call TI                           | -40 to 125   |                     |

(1) **Status:** For more details on status, see our [product life cycle](#).

(2) **Material type:** When designated, preproduction parts are prototypes/experimental devices, and are not yet approved or released for full production. Testing and final process, including without limitation quality assurance, reliability performance testing, and/or process qualification, may not yet be complete, and this item is subject to further changes or possible discontinuation. If available for ordering, purchases will be subject to an additional waiver at checkout, and are intended for early internal evaluation purposes only. These items are sold without warranties of any kind.

(3) **RoHS values:** Yes, No, RoHS Exempt. See the [TI RoHS Statement](#) for additional information and value definition.

(4) **Lead finish/Ball material:** Parts may have multiple material finish options. Finish options are separated by a vertical ruled line. Lead finish/Ball material values may wrap to two lines if the finish value exceeds the maximum column width.

(5) **MSL rating/Peak reflow:** The moisture sensitivity level ratings and peak solder (reflow) temperatures. In the event that a part has multiple moisture sensitivity ratings, only the lowest level per JEDEC standards is shown. Refer to the shipping label for the actual reflow temperature that will be used to mount the part to the printed circuit board.

(6) **Part marking:** There may be an additional marking, which relates to the logo, the lot trace code information, or the environmental category of the part.

Multiple part markings will be inside parentheses. Only one part marking contained in parentheses and separated by a "~" will appear on a part. If a line is indented then it is a continuation of the previous line and the two combined represent the entire part marking for that device.

**Important Information and Disclaimer:** The information provided on this page represents TI's knowledge and belief as of the date that it is provided. TI bases its knowledge and belief on information provided by third parties, and makes no representation or warranty as to the accuracy of such information. Efforts are underway to better integrate information from third parties. TI has taken and continues to take reasonable steps to provide representative and accurate information but may not have conducted destructive testing or chemical analysis on incoming materials and chemicals. TI and TI suppliers consider certain information to be proprietary, and thus CAS numbers and other limited information may not be available for release.

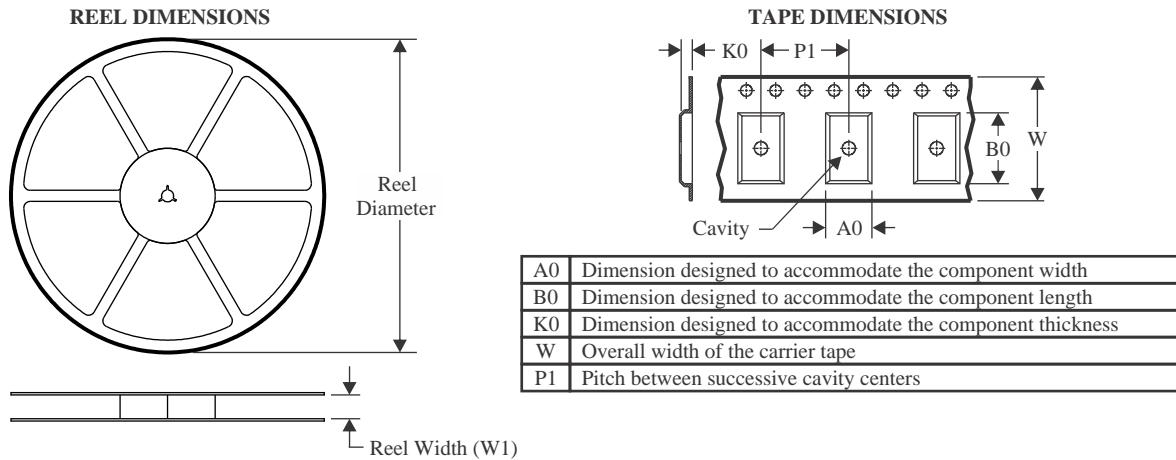
In no event shall TI's liability arising out of such information exceed the total purchase price of the TI part(s) at issue in this document sold by TI to Customer on an annual basis.

**OTHER QUALIFIED VERSIONS OF TPS3842-Q1 :**

- Catalog : [TPS3842](#)

NOTE: Qualified Version Definitions:

- Catalog - TI's standard catalog product

**TAPE AND REEL INFORMATION**

**QUADRANT ASSIGNMENTS FOR PIN 1 ORIENTATION IN TAPE**


\*All dimensions are nominal

| Device            | Package Type | Package Drawing | Pins | SPQ  | Reel Diameter (mm) | Reel Width W1 (mm) | A0 (mm) | B0 (mm) | K0 (mm) | P1 (mm) | W (mm) | Pin1 Quadrant |
|-------------------|--------------|-----------------|------|------|--------------------|--------------------|---------|---------|---------|---------|--------|---------------|
| TPS3842A010DRLRQ1 | SOT-5X3      | DRL             | 6    | 4000 | 180.0              | 8.4                | 2.0     | 1.8     | 0.75    | 4.0     | 8.0    | Q3            |
| TPS3842A011DRLRQ1 | SOT-5X3      | DRL             | 6    | 4000 | 180.0              | 8.4                | 2.0     | 1.8     | 0.75    | 4.0     | 8.0    | Q3            |
| TPS3842A015DRLRQ1 | SOT-5X3      | DRL             | 6    | 4000 | 180.0              | 8.4                | 2.0     | 1.8     | 0.75    | 4.0     | 8.0    | Q3            |
| TPS3842A650DRLRQ1 | SOT-5X3      | DRL             | 6    | 4000 | 180.0              | 8.4                | 2.0     | 1.8     | 0.75    | 4.0     | 8.0    | Q3            |

**TAPE AND REEL BOX DIMENSIONS**


\*All dimensions are nominal

| Device            | Package Type | Package Drawing | Pins | SPQ  | Length (mm) | Width (mm) | Height (mm) |
|-------------------|--------------|-----------------|------|------|-------------|------------|-------------|
| TPS3842A010DRLRQ1 | SOT-5X3      | DRL             | 6    | 4000 | 210.0       | 185.0      | 35.0        |
| TPS3842A011DRLRQ1 | SOT-5X3      | DRL             | 6    | 4000 | 210.0       | 185.0      | 35.0        |
| TPS3842A015DRLRQ1 | SOT-5X3      | DRL             | 6    | 4000 | 210.0       | 185.0      | 35.0        |
| TPS3842A650DRLRQ1 | SOT-5X3      | DRL             | 6    | 4000 | 210.0       | 185.0      | 35.0        |

# DRL0006A



# PACKAGE OUTLINE

## SOT - 0.6 mm max height

PLASTIC SMALL OUTLINE



4223266/F 11/2024

### NOTES:

1. All linear dimensions are in millimeters. Any dimensions in parenthesis are for reference only. Dimensioning and tolerancing per ASME Y14.5M.
2. This drawing is subject to change without notice.
3. This dimension does not include mold flash, protrusions, or gate burrs. Mold flash, protrusions, or gate burrs shall not exceed 0.15 mm per side.
4. Reference JEDEC registration MO-293 Variation UAAD

# EXAMPLE BOARD LAYOUT

DRL0006A

SOT - 0.6 mm max height

PLASTIC SMALL OUTLINE



LAND PATTERN EXAMPLE  
SCALE:30X



SOLDERMASK DETAILS

4223266/F 11/2024

NOTES: (continued)

5. Publication IPC-7351 may have alternate designs.
6. Solder mask tolerances between and around signal pads can vary based on board fabrication site.
7. Land pattern design aligns to IPC-610, Bottom Termination Component (BTC) solder joint inspection criteria.

# EXAMPLE STENCIL DESIGN

DRL0006A

SOT - 0.6 mm max height

PLASTIC SMALL OUTLINE



SOLDER PASTE EXAMPLE  
BASED ON 0.1 mm THICK STENCIL  
SCALE:30X

4223266/F 11/2024

NOTES: (continued)

8. Laser cutting apertures with trapezoidal walls and rounded corners may offer better paste release. IPC-7525 may have alternate design recommendations.
9. Board assembly site may have different recommendations for stencil design.

## 重要通知和免责声明

TI“按原样”提供技术和可靠性数据（包括数据表）、设计资源（包括参考设计）、应用或其他设计建议、网络工具、安全信息和其他资源，不保证没有瑕疵且不做任何明示或暗示的担保，包括但不限于对适销性、与某特定用途的适用性或不侵犯任何第三方知识产权的暗示担保。

这些资源可供使用 TI 产品进行设计的熟练开发人员使用。您将自行承担以下全部责任：(1) 针对您的应用选择合适的 TI 产品，(2) 设计、验证并测试您的应用，(3) 确保您的应用满足相应标准以及任何其他安全、安保法规或其他要求。

这些资源如有变更，恕不另行通知。TI 授权您仅可将这些资源用于研发本资源所述的 TI 产品的相关应用。严禁以其他方式对这些资源进行复制或展示。您无权使用任何其他 TI 知识产权或任何第三方知识产权。对于因您对这些资源的使用而对 TI 及其代表造成的任何索赔、损害、成本、损失和债务，您将全额赔偿，TI 对此概不负责。

TI 提供的产品受 [TI 销售条款](#)、[TI 通用质量指南](#) 或 [ti.com](#) 上其他适用条款或 TI 产品随附的其他适用条款的约束。TI 提供这些资源并不会扩展或以其他方式更改 TI 针对 TI 产品发布的适用的担保或担保免责声明。除非德州仪器 (TI) 明确将某产品指定为定制产品或客户特定产品，否则其产品均为按确定价格收入目录的标准通用器件。

TI 反对并拒绝您可能提出的任何其他或不同的条款。

版权所有 © 2026，德州仪器 (TI) 公司

最后更新日期：2025 年 10 月